

Fig. 3

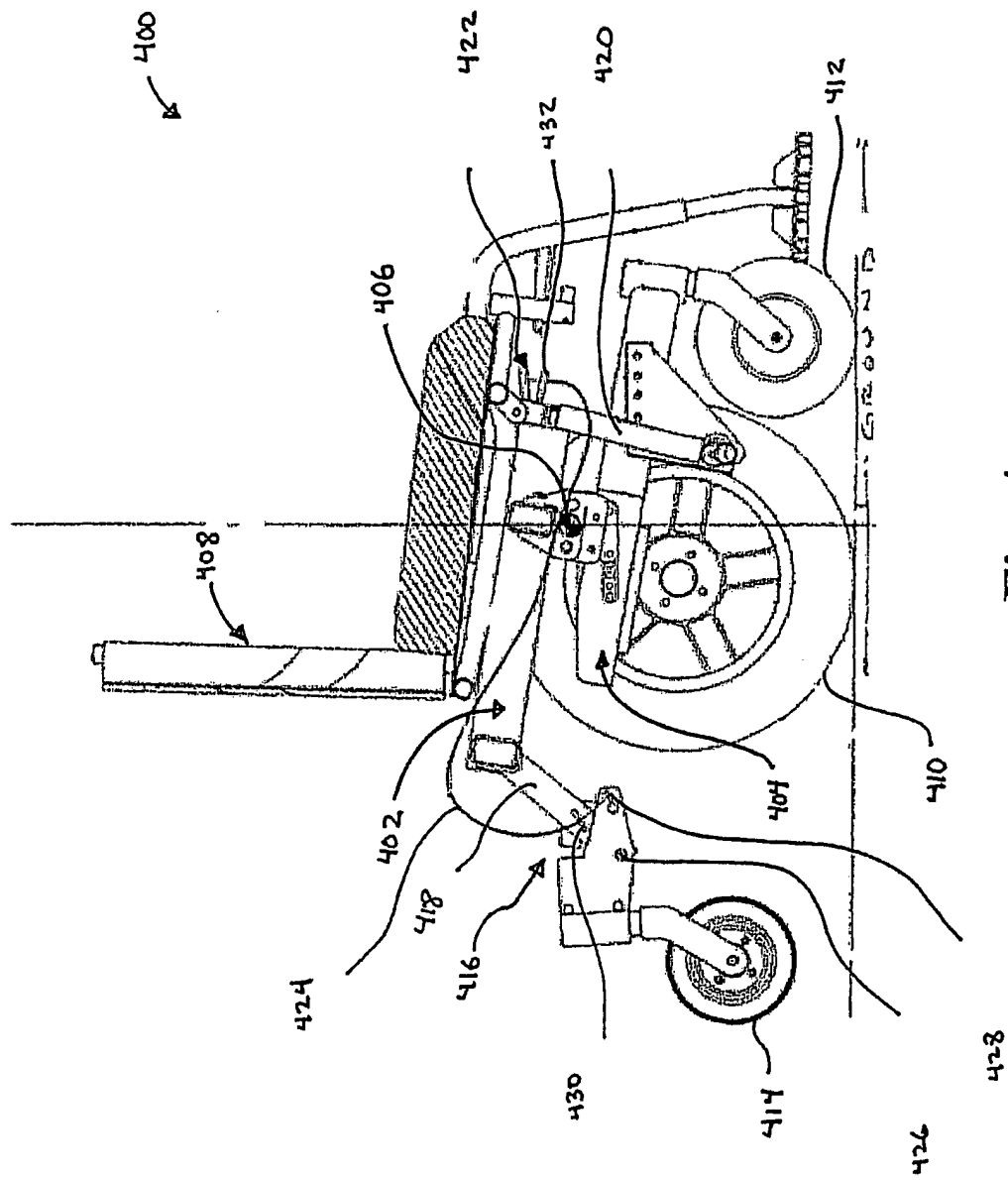


Fig. 4

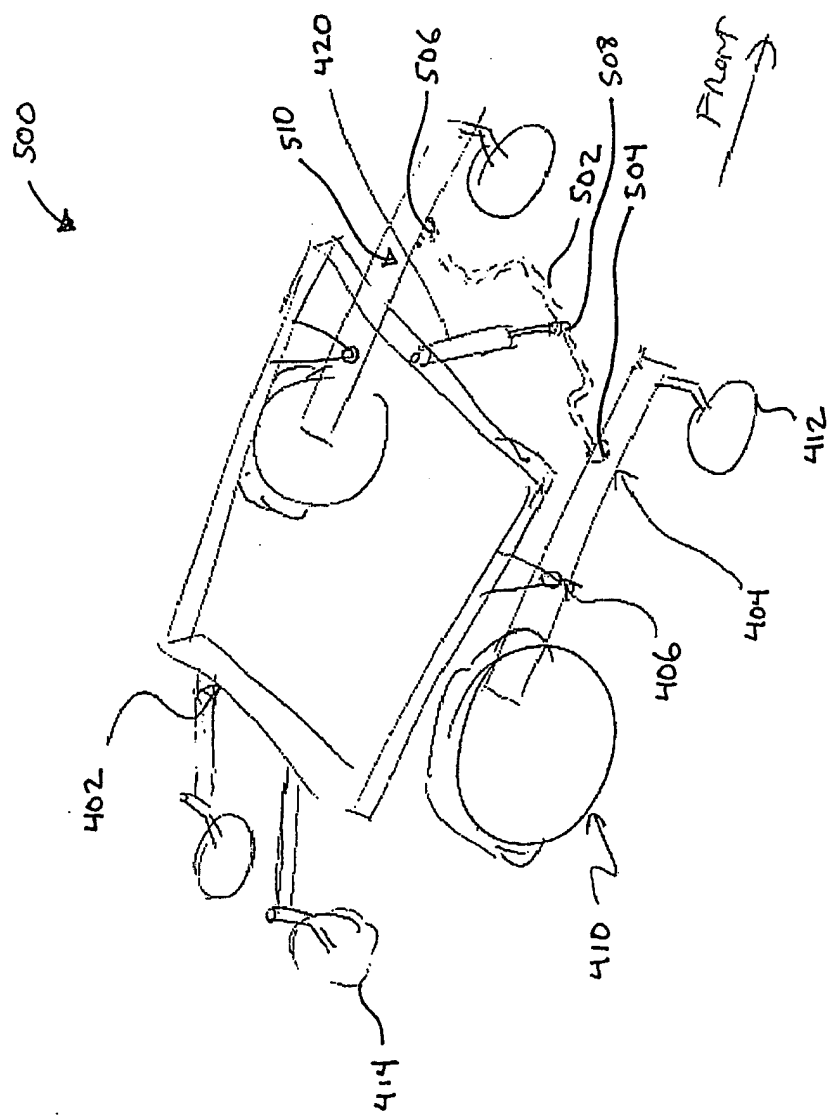


Fig. 5

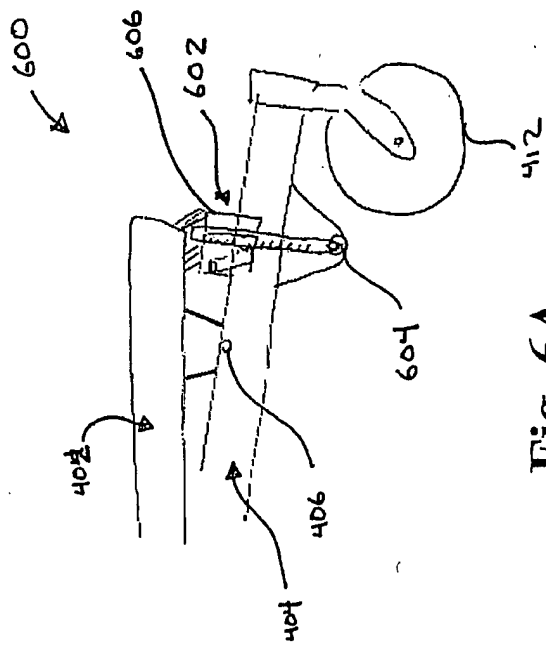


Fig. 6A

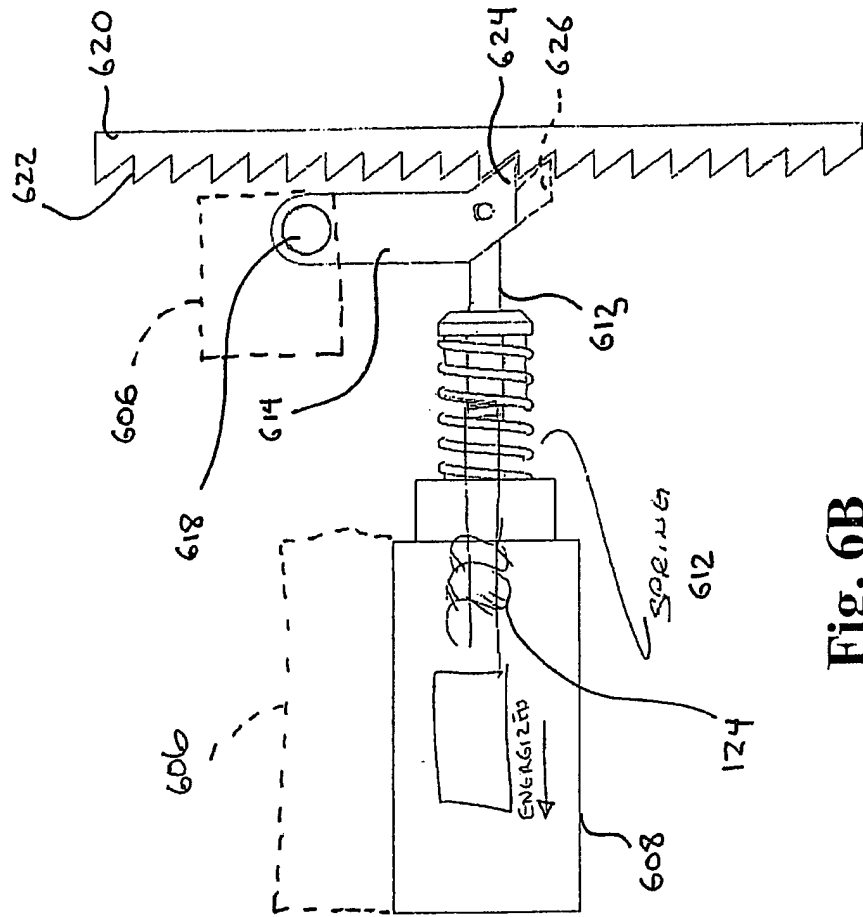


Fig. 6B

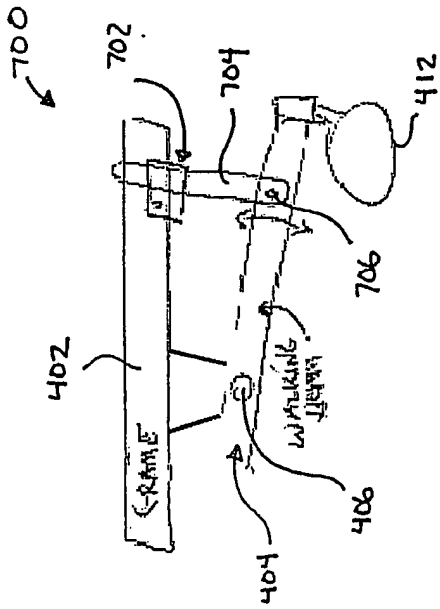


Fig. 7A

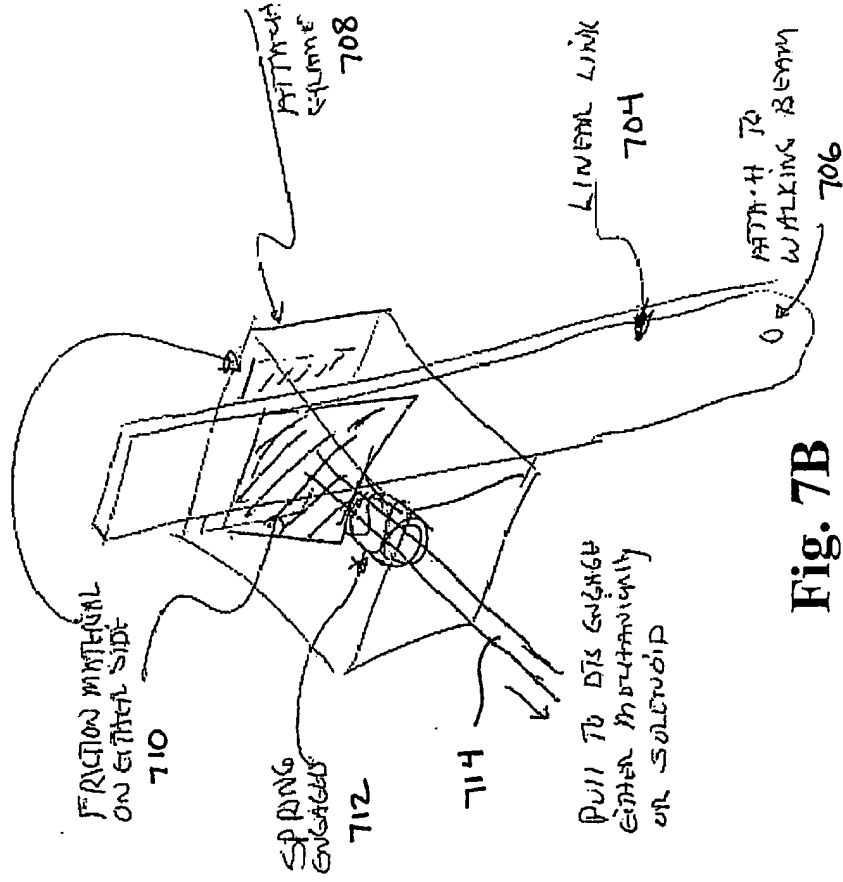


Fig. 7B

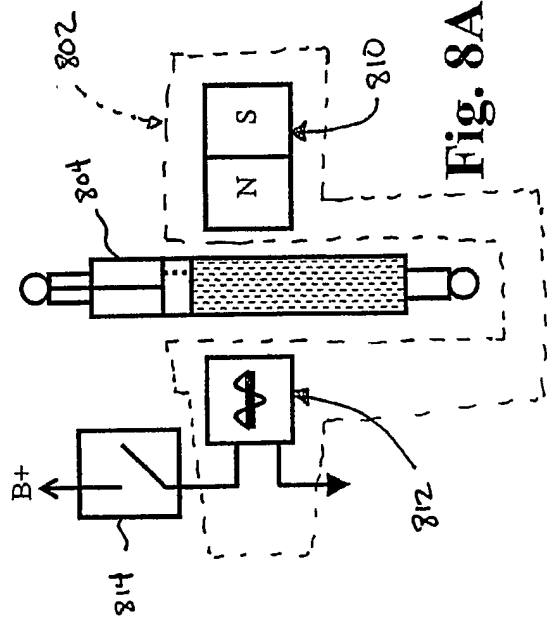


Fig. 8A

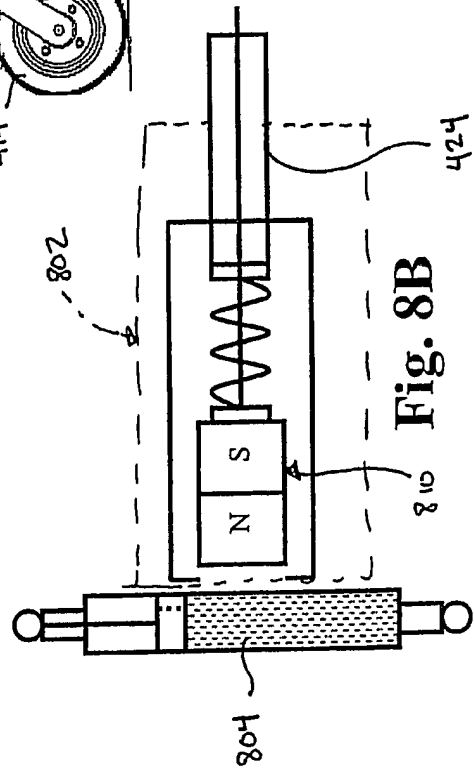


Fig. 8B

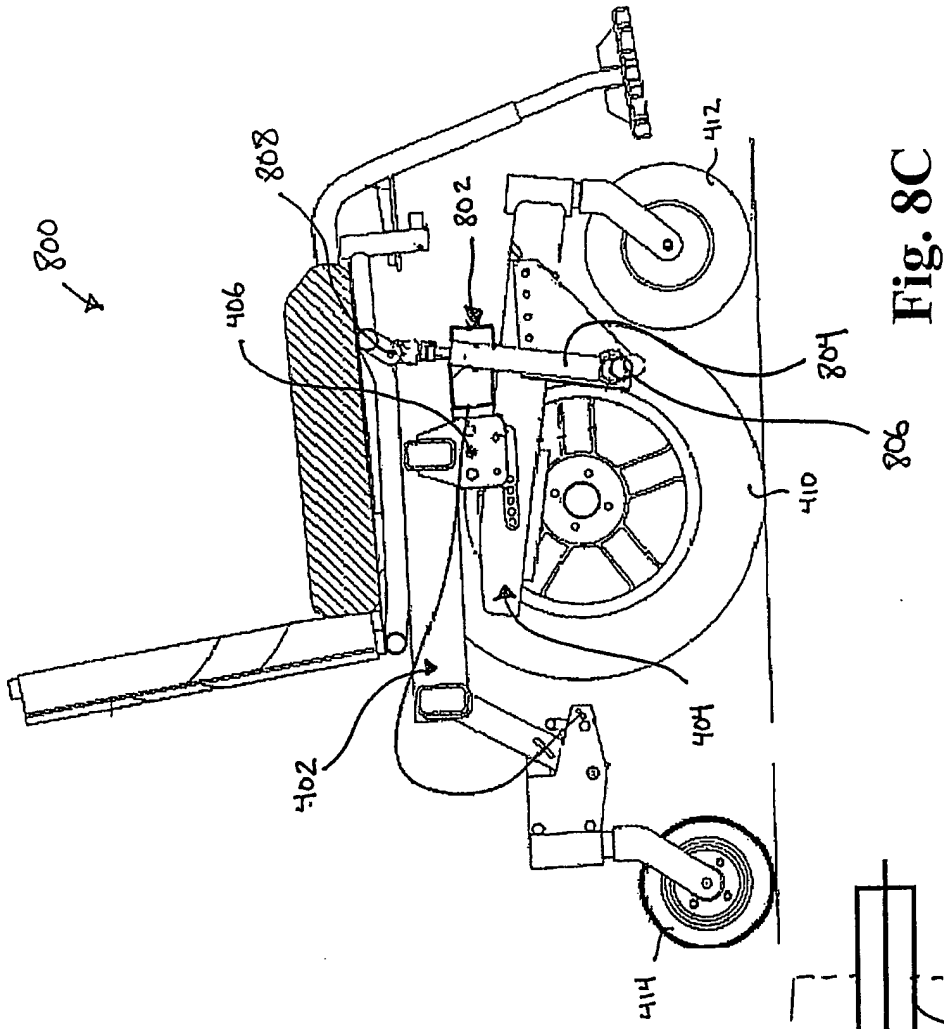


Fig. 8C

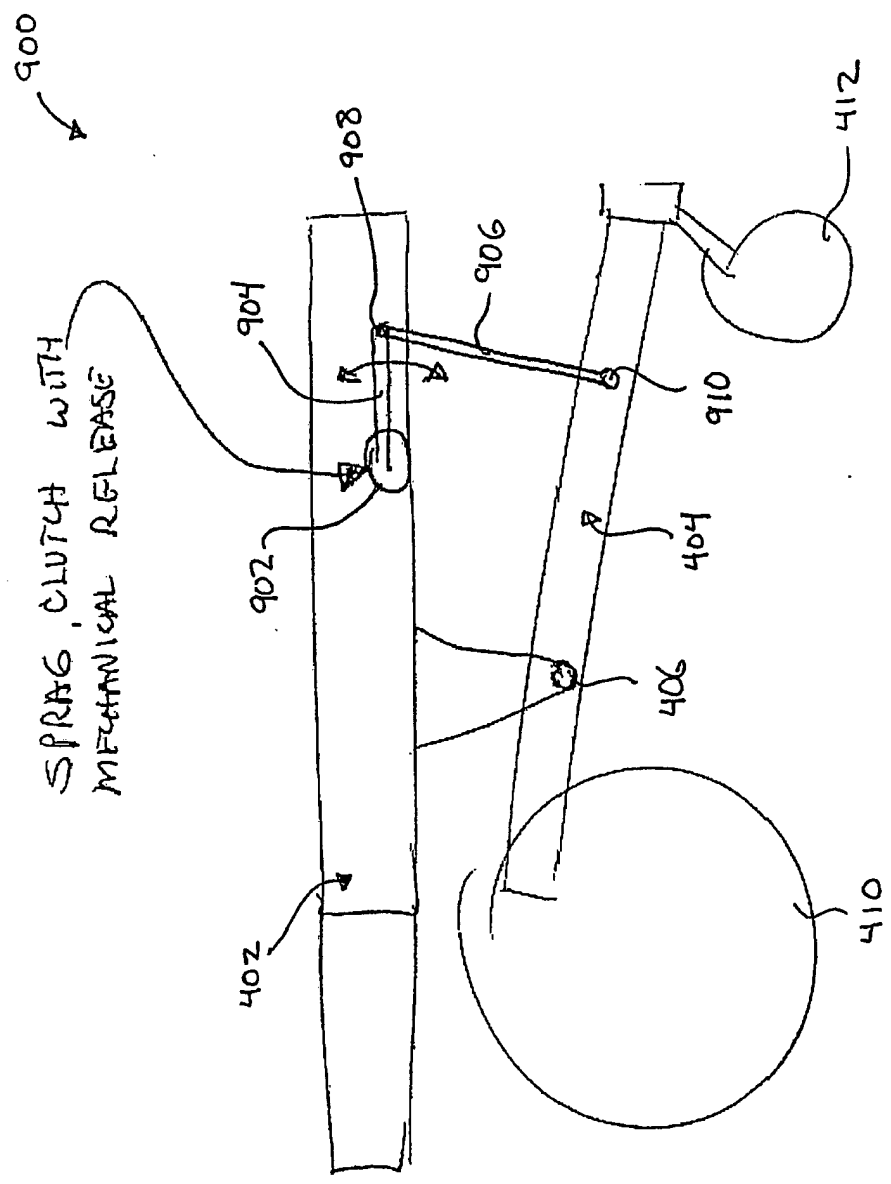


Fig. 9

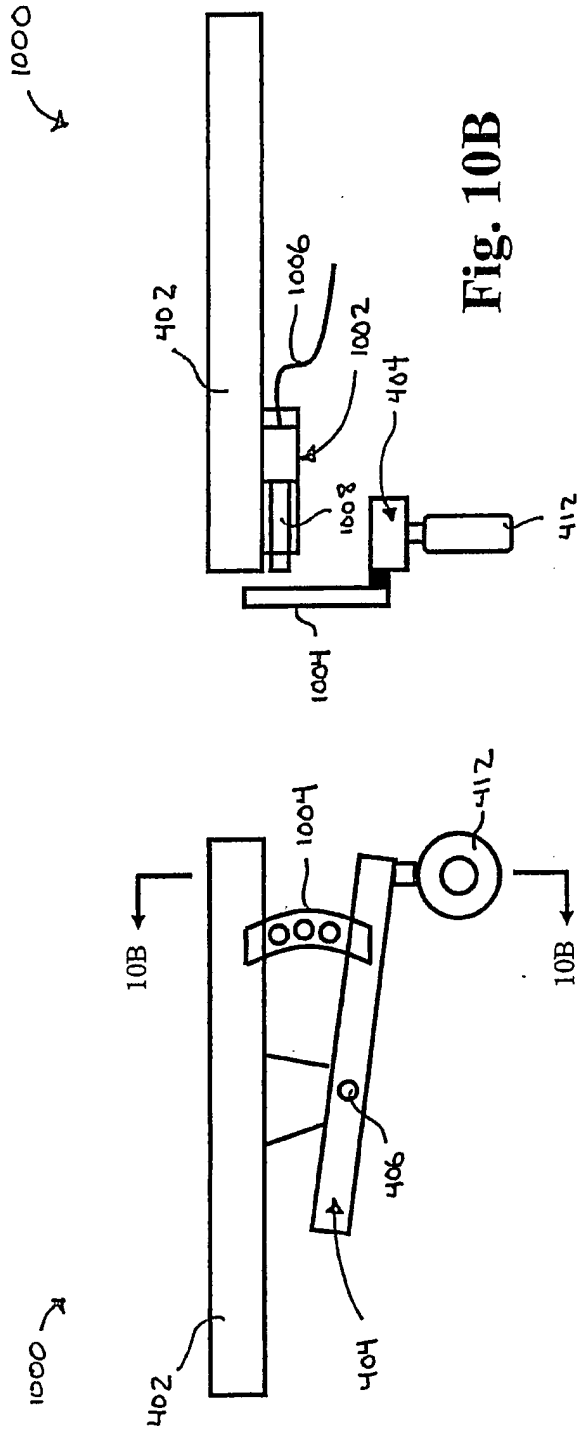


Fig. 10A

Fig. 10B

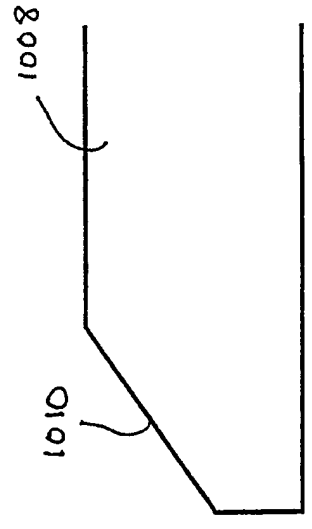


Fig. 10C

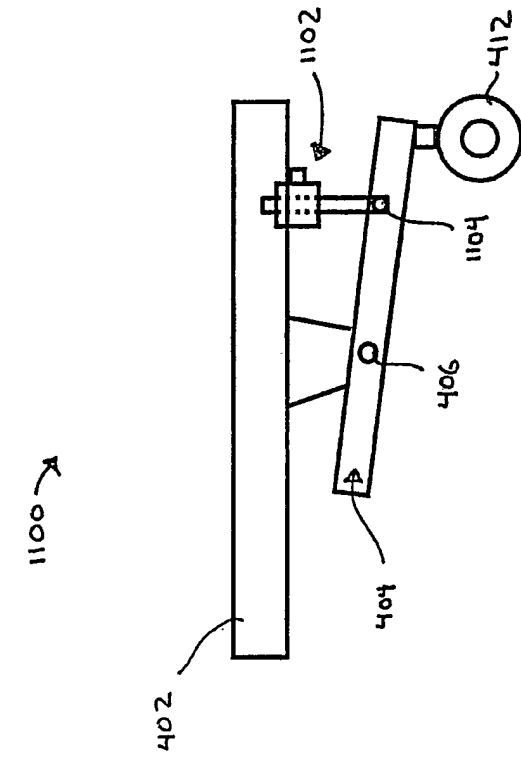


Fig. 11A

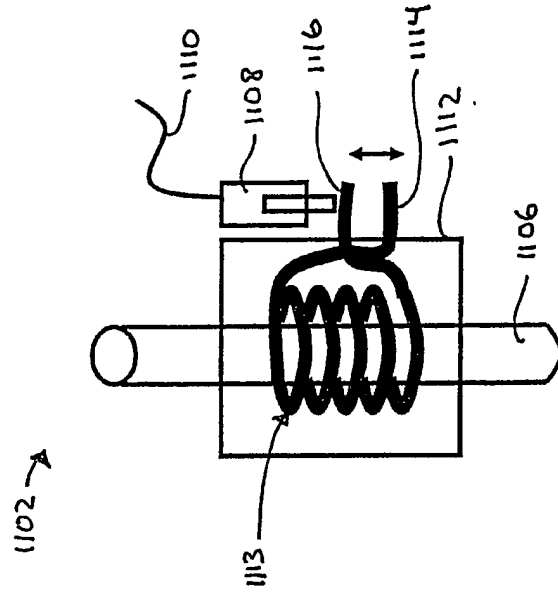


Fig. 11B

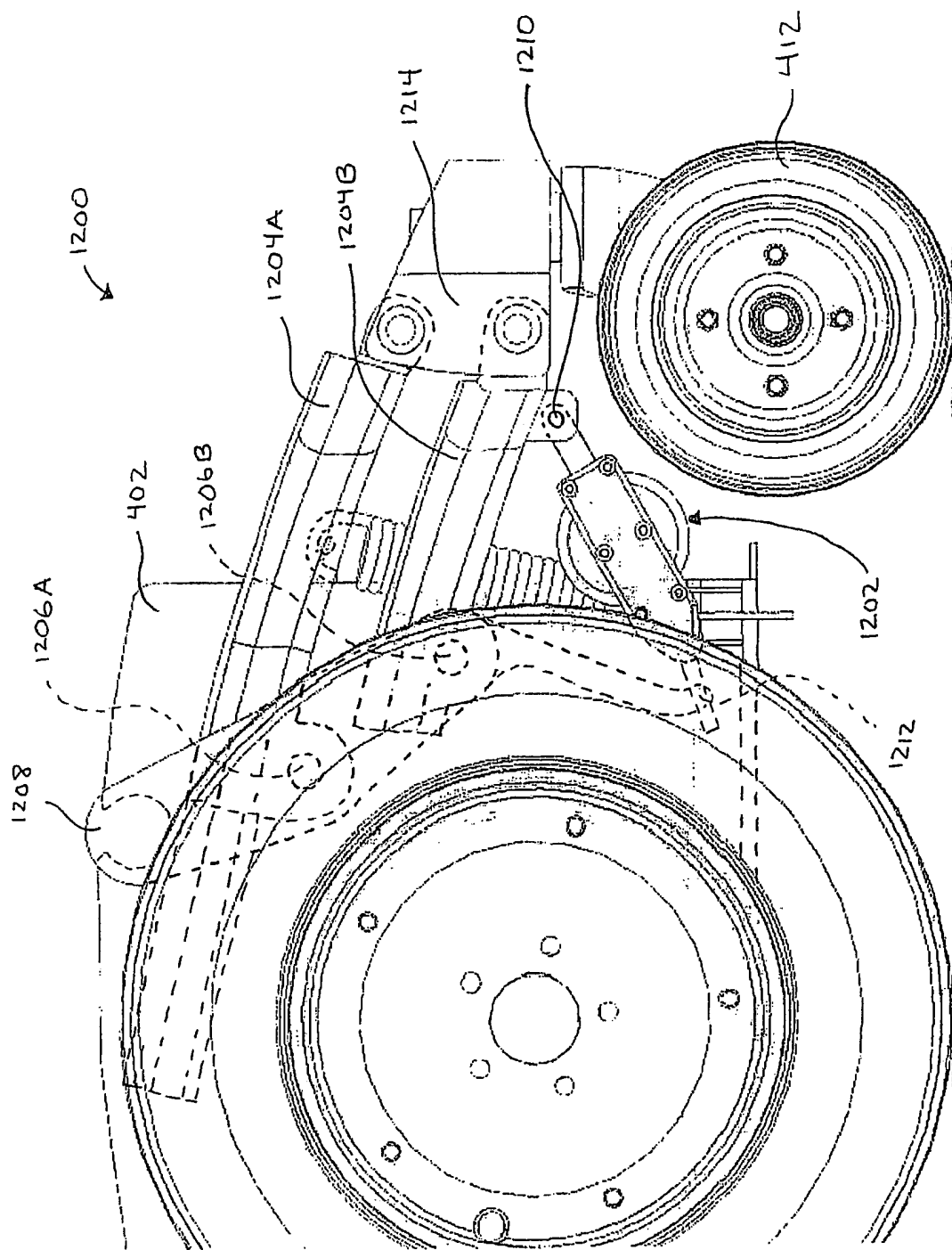


Fig. 12A

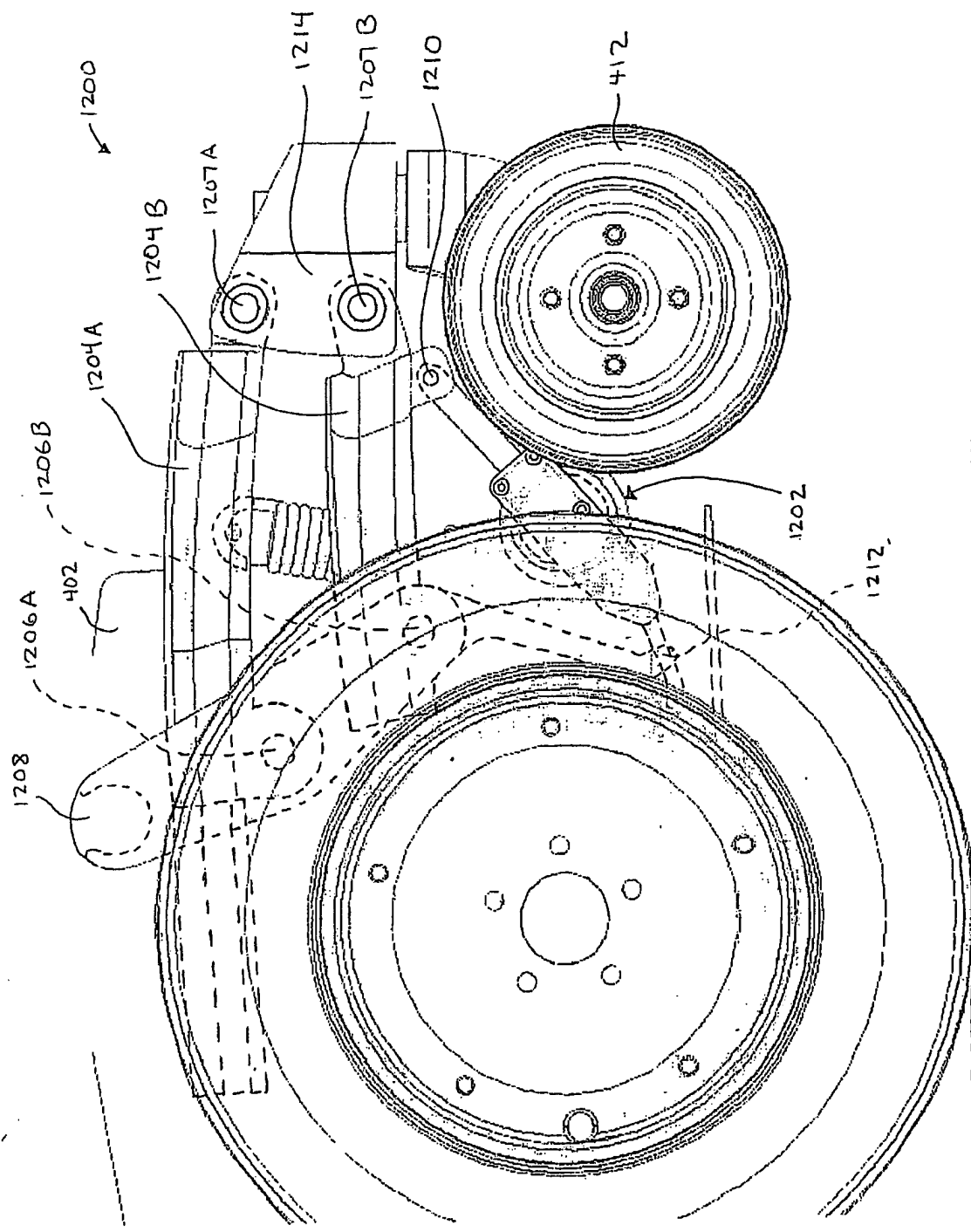


Fig. 12B

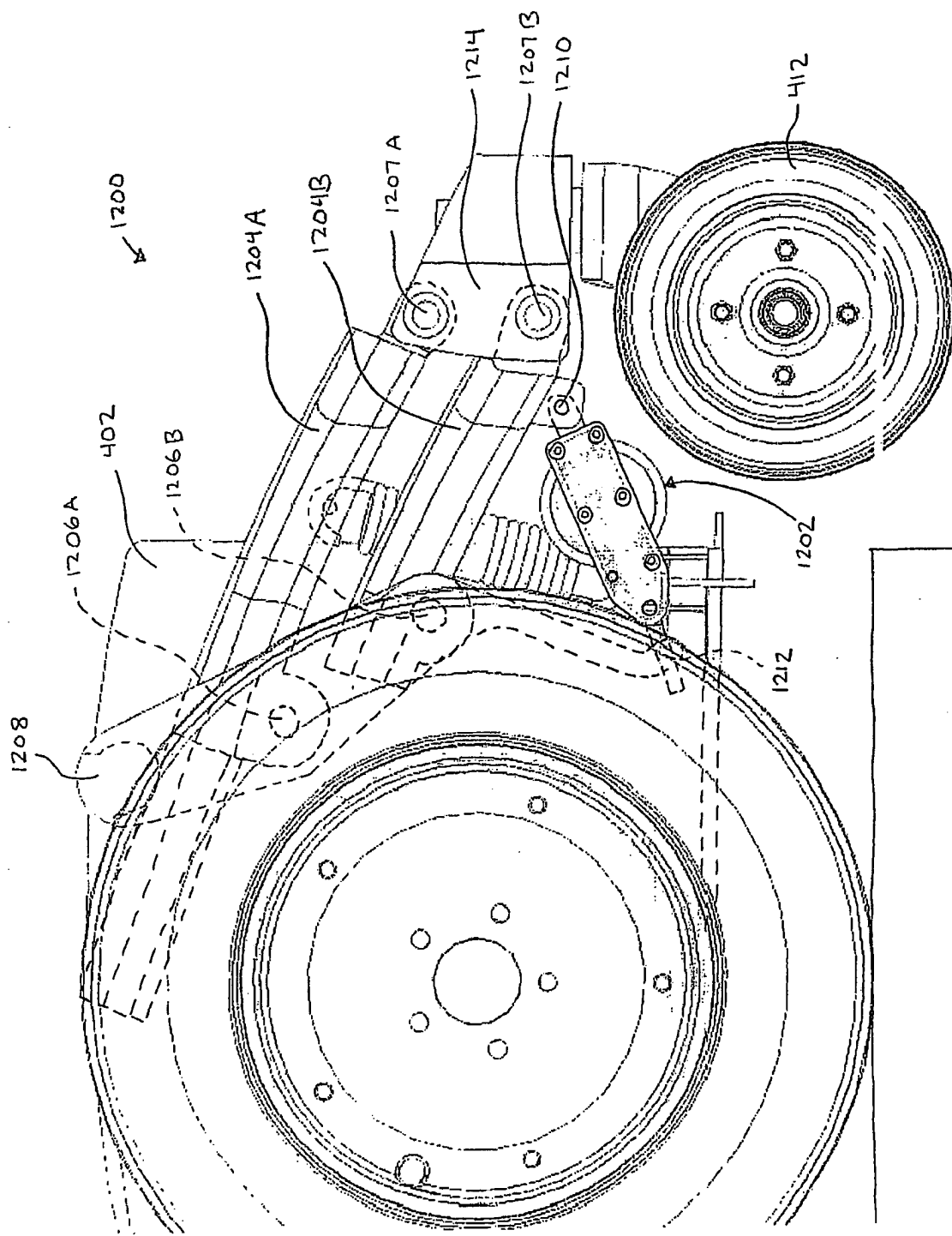


Fig. 12 C

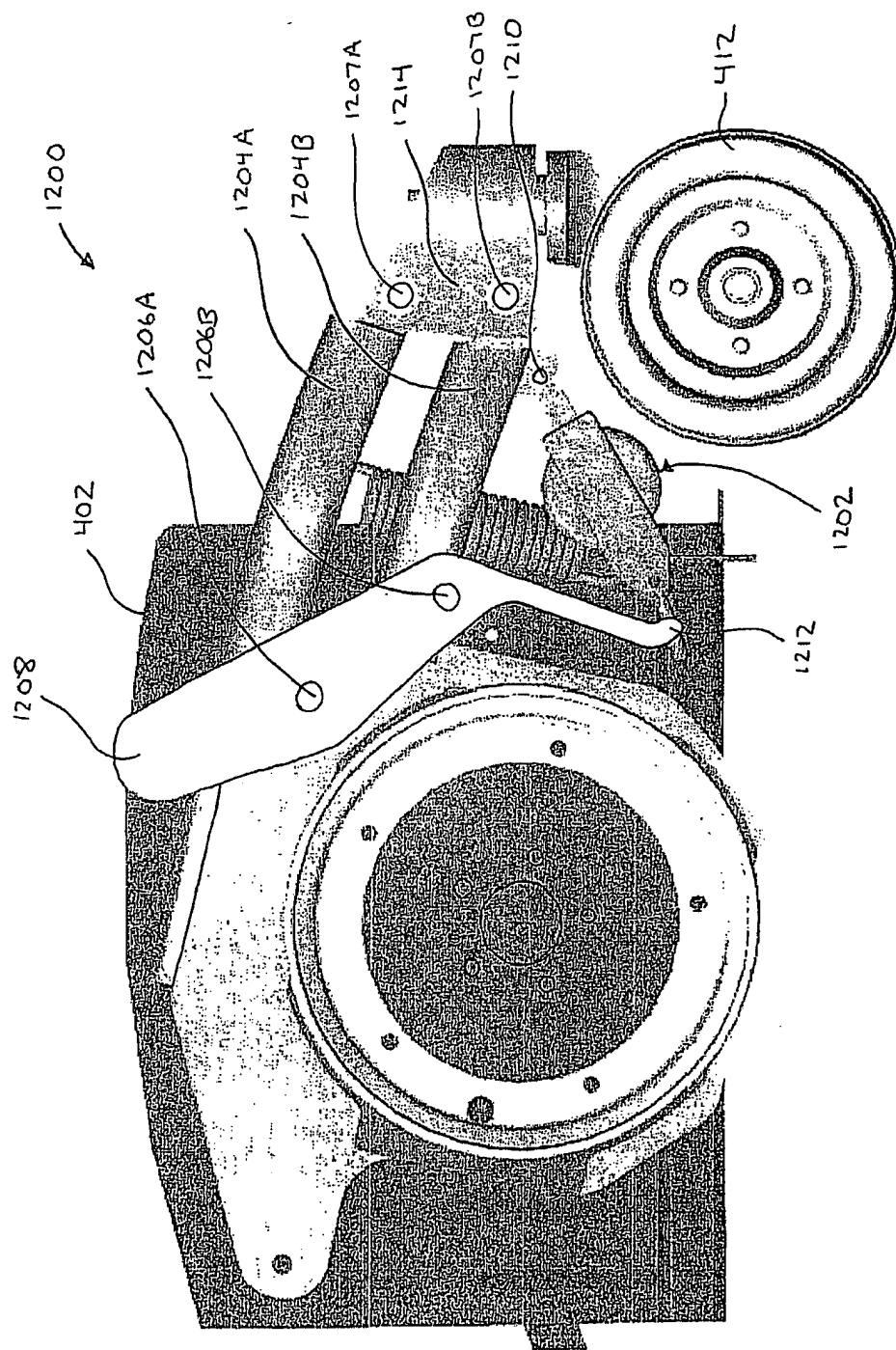


Fig. 12D

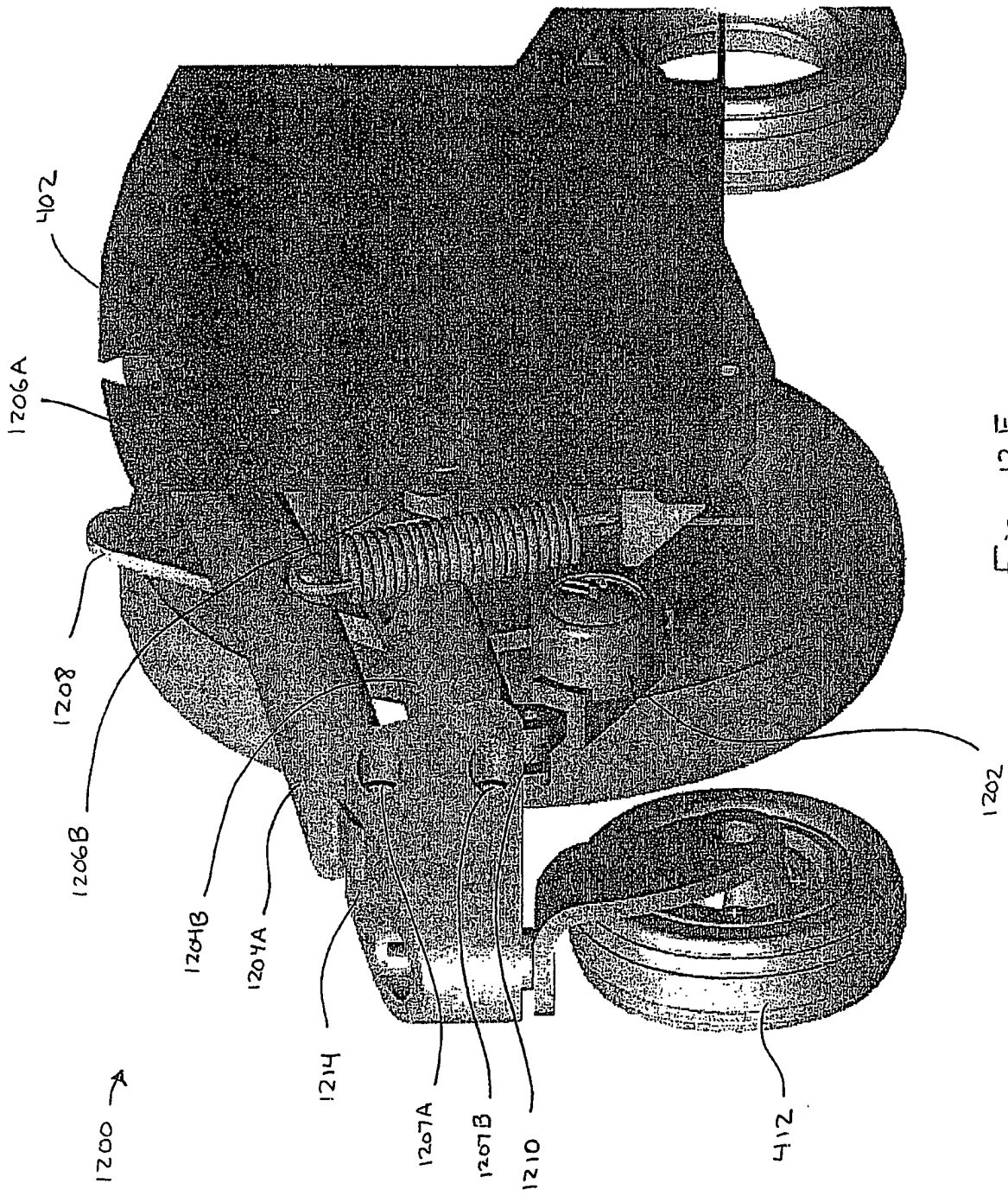


Fig. 12E

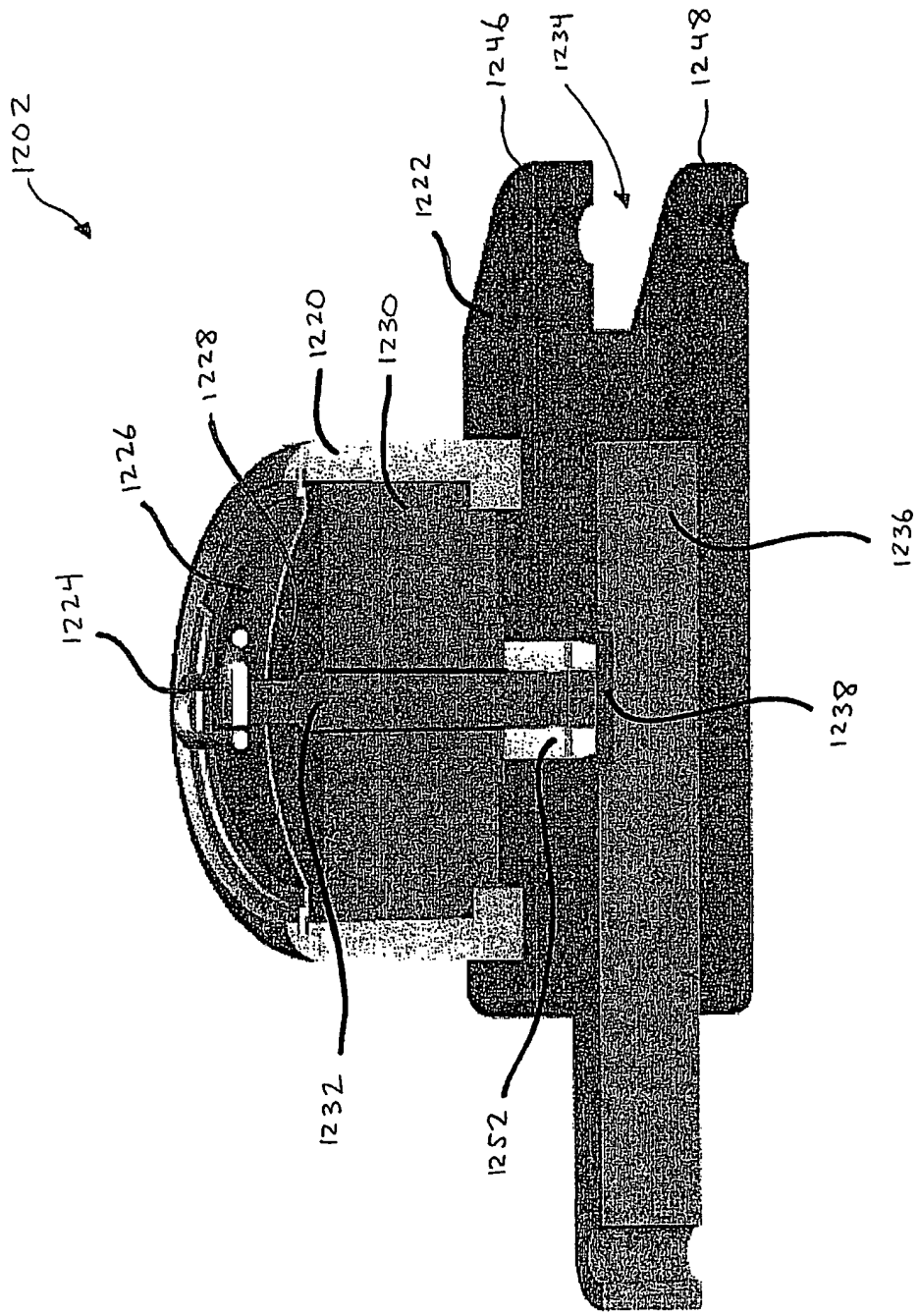
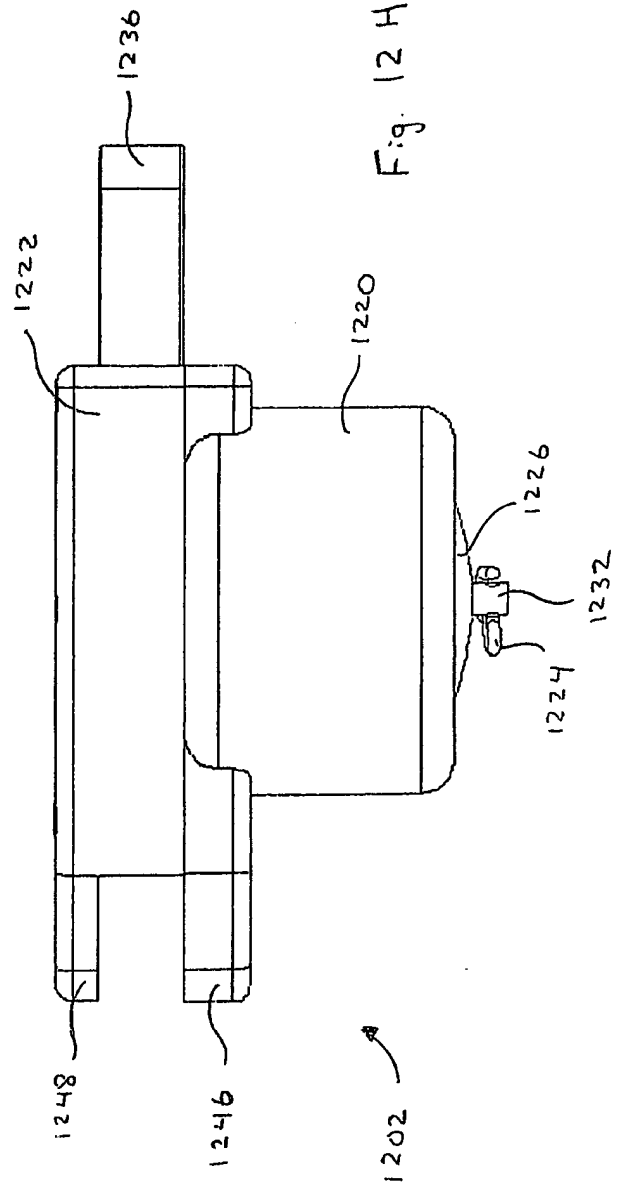
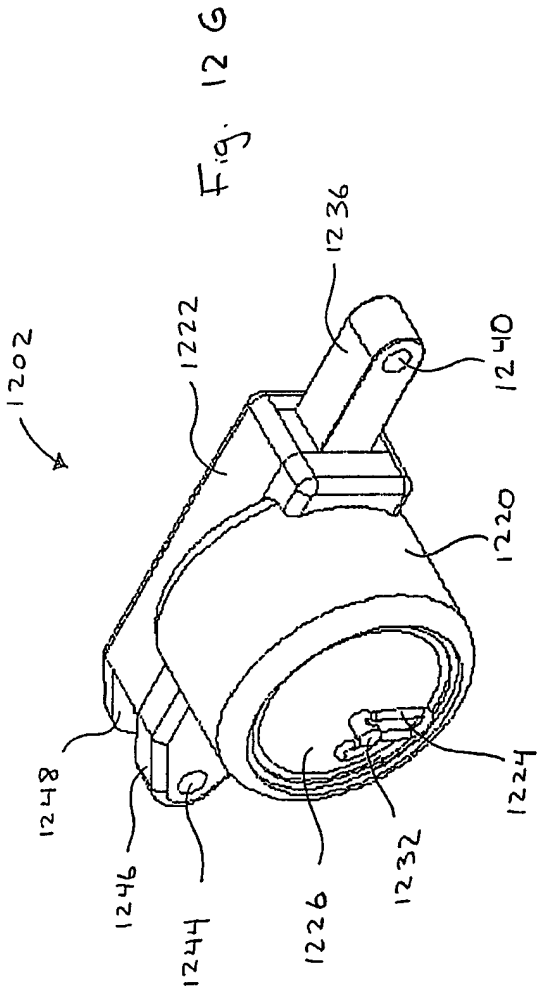


Fig. 12F



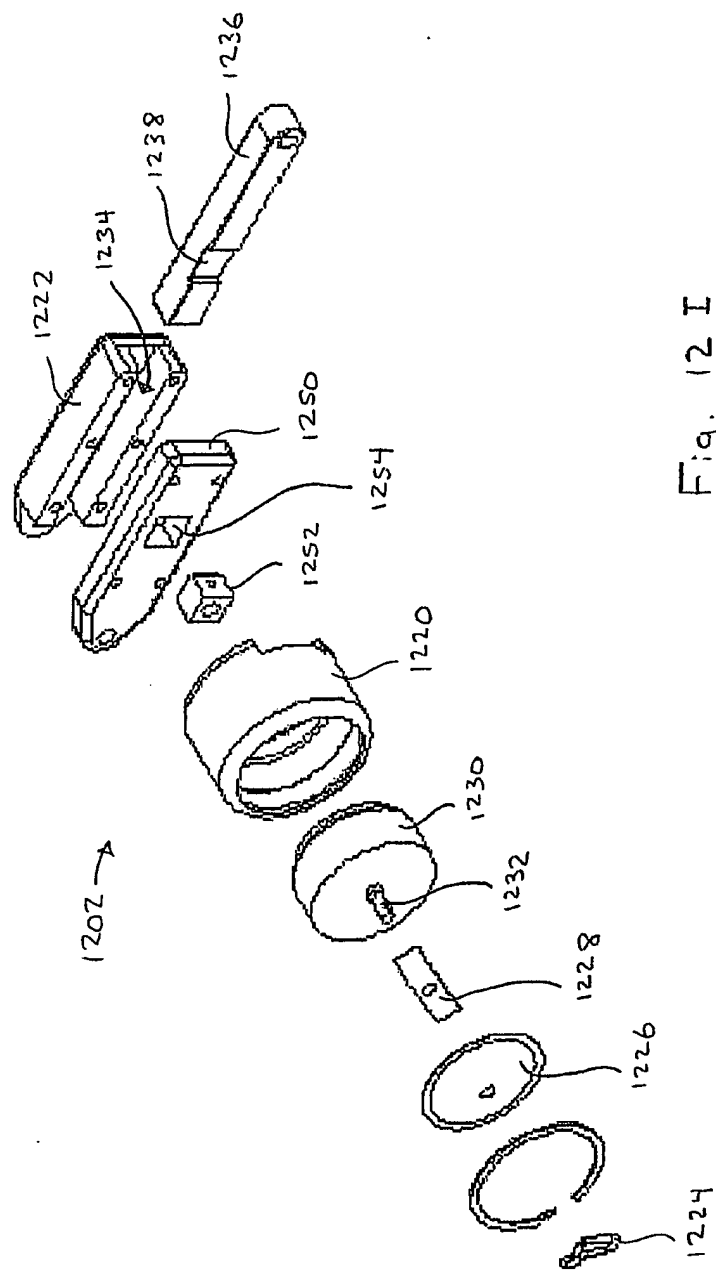


Fig. 12 I

1300 →

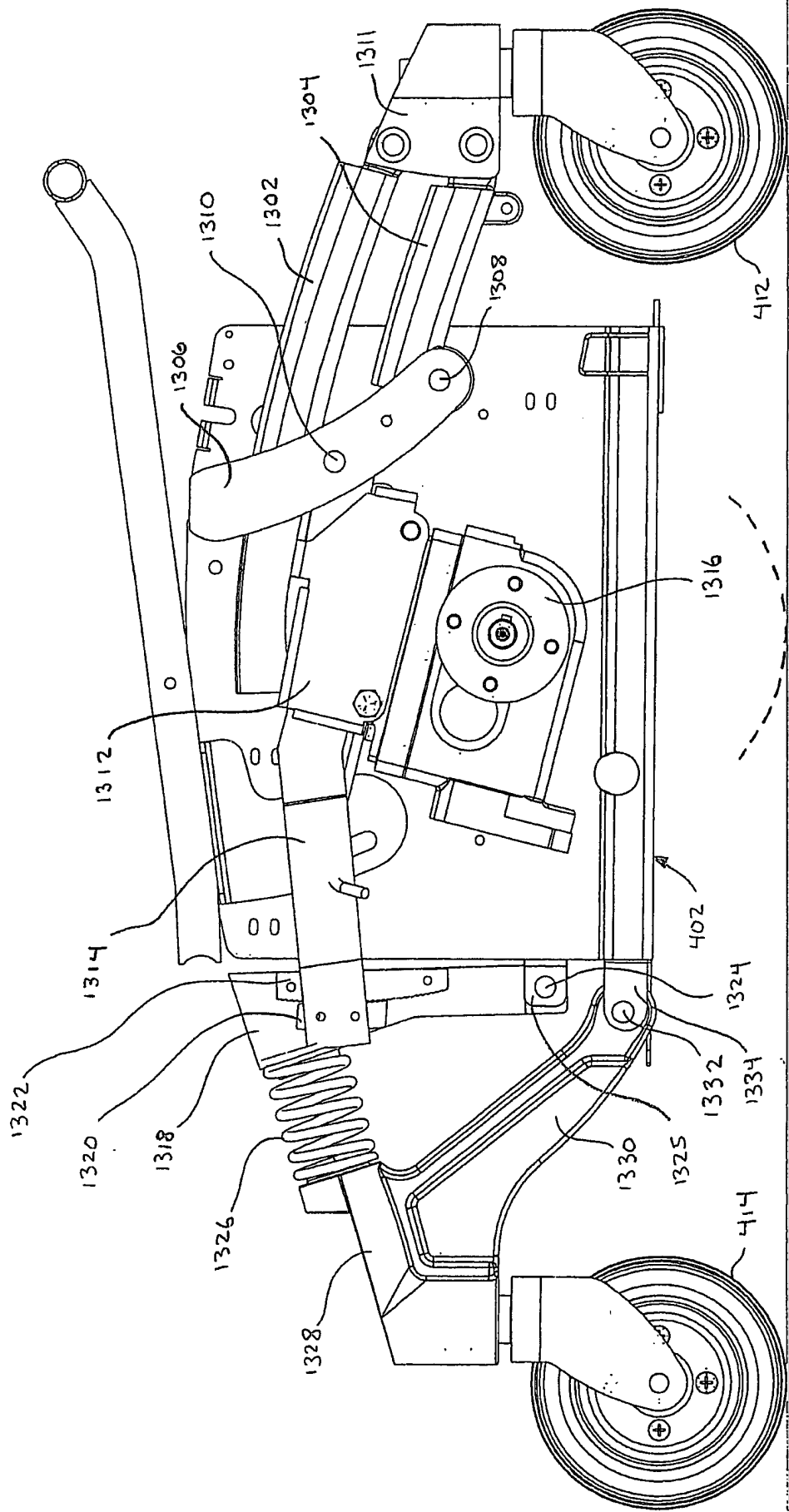


Fig. 13

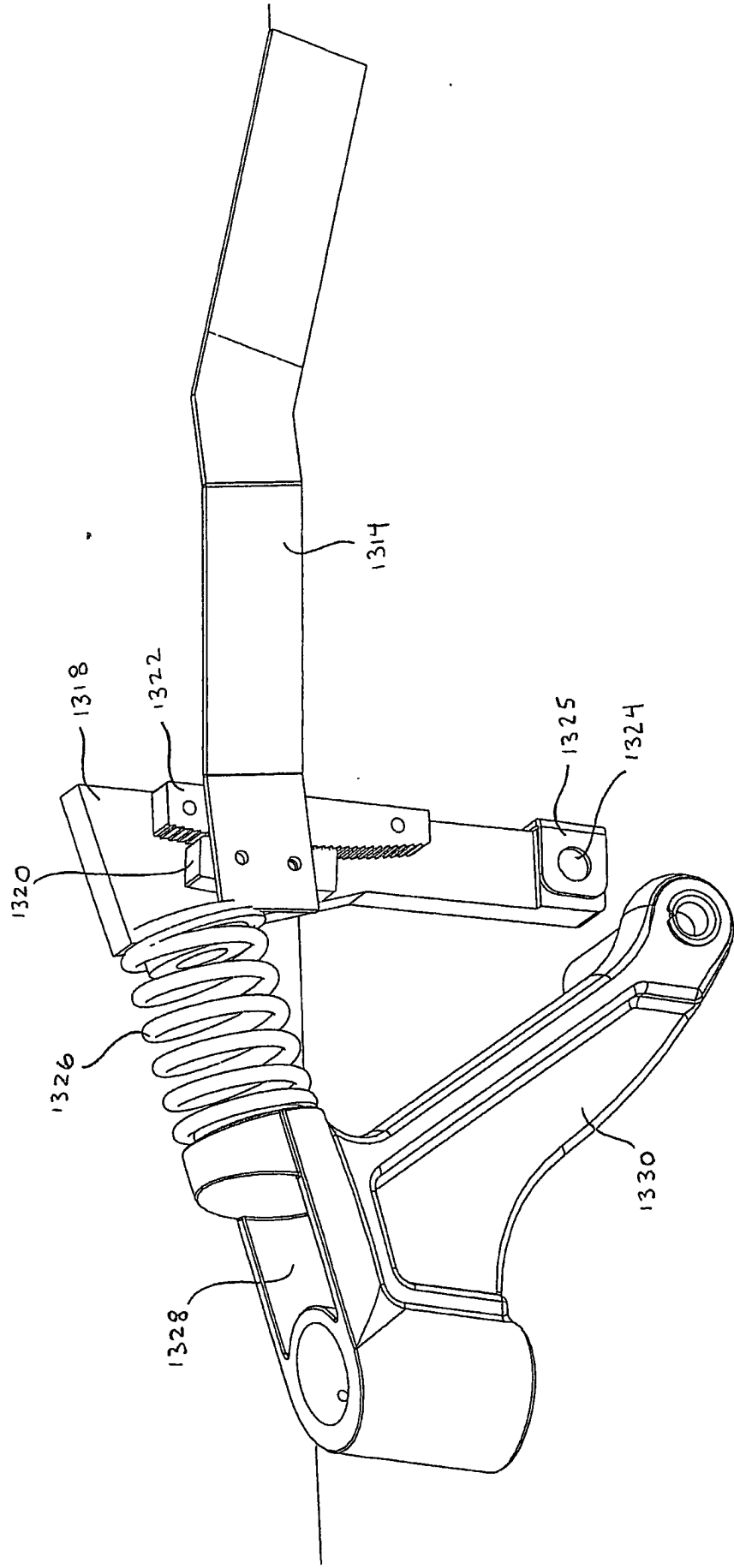


Fig. 14

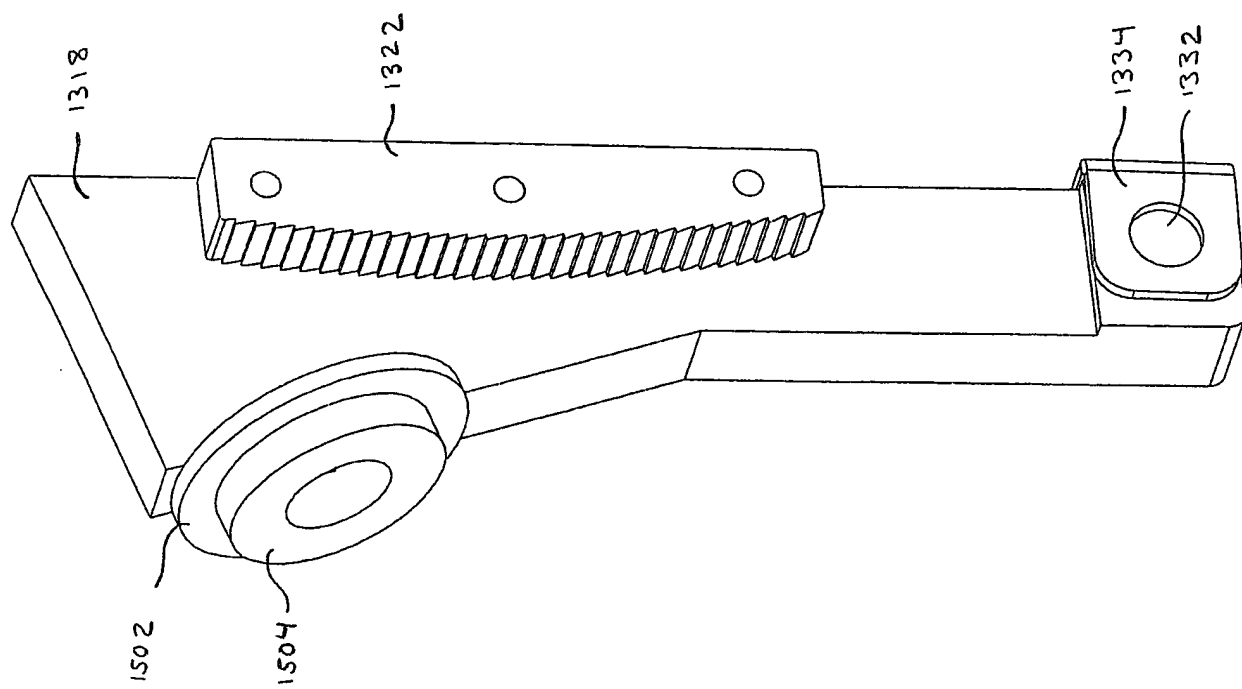


Fig. 15

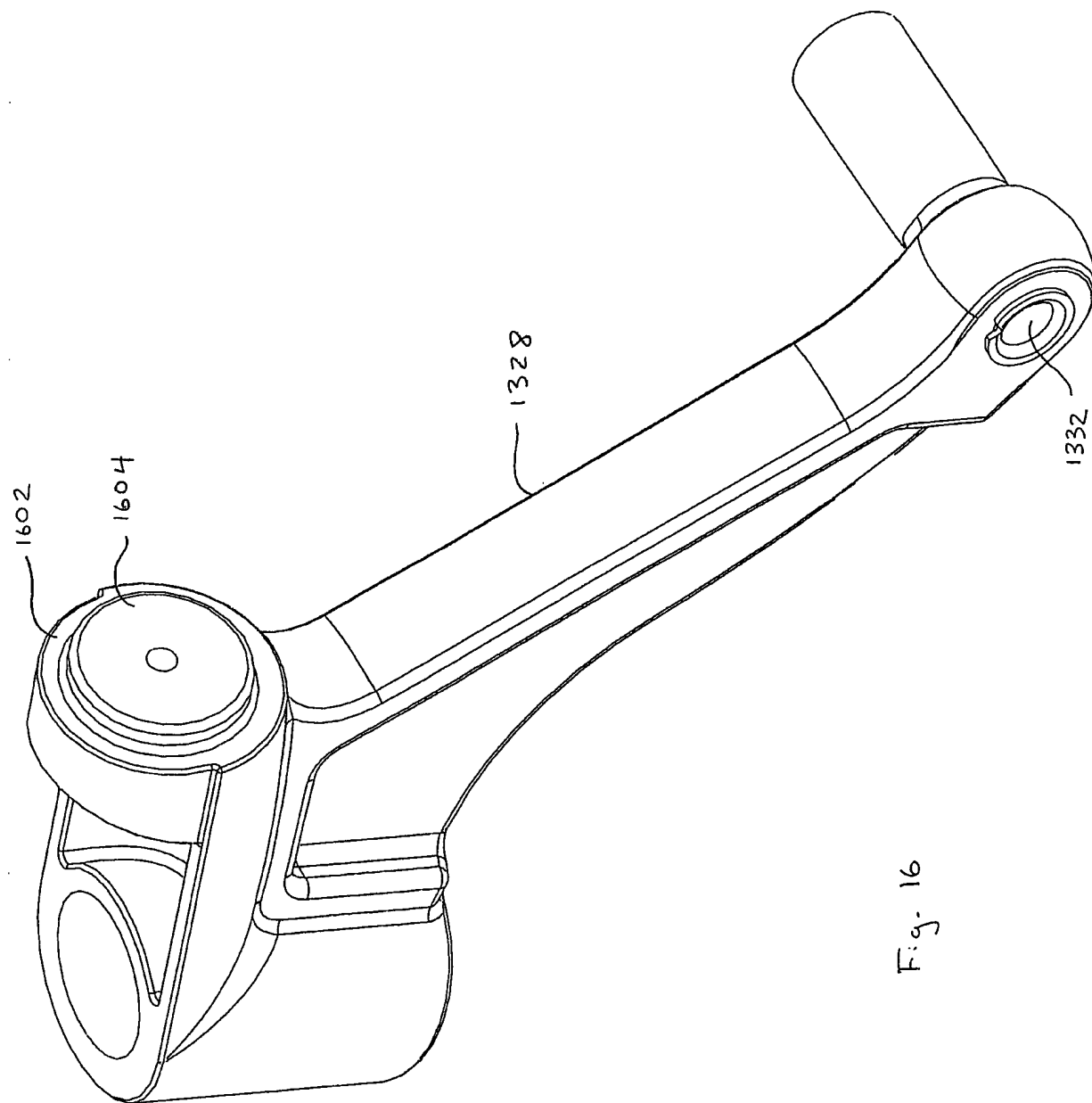


Fig. 16

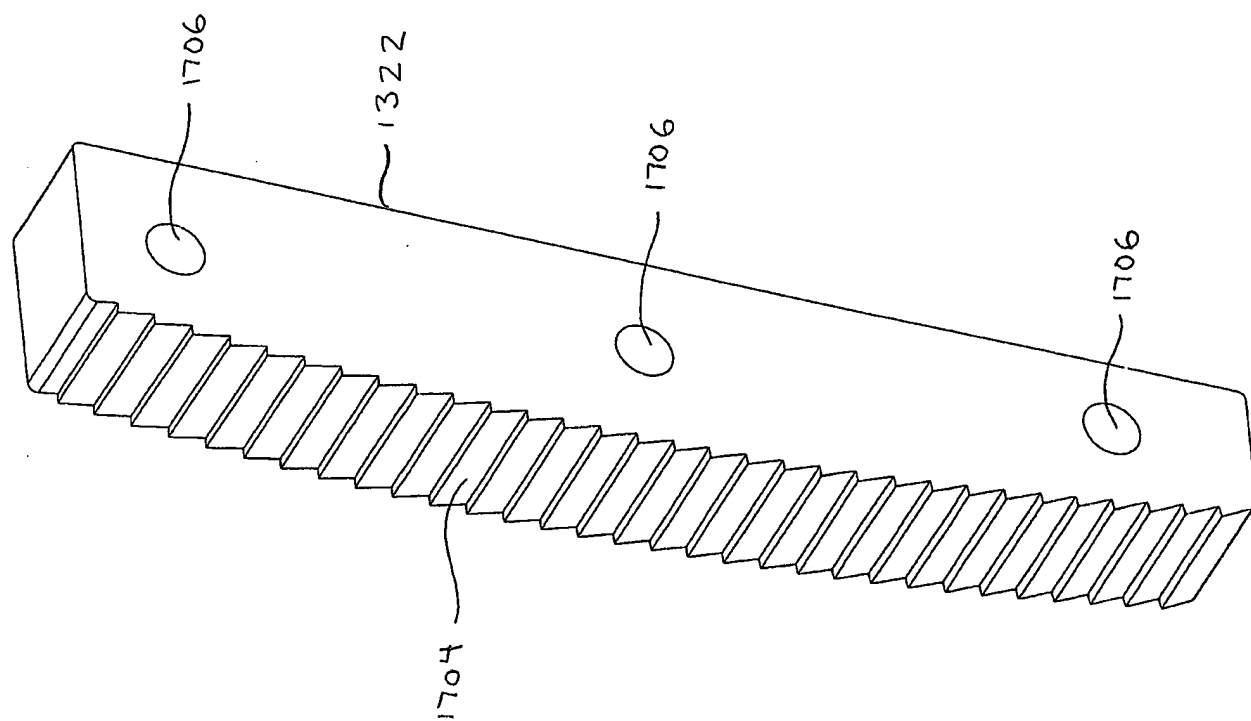


Fig. 17B

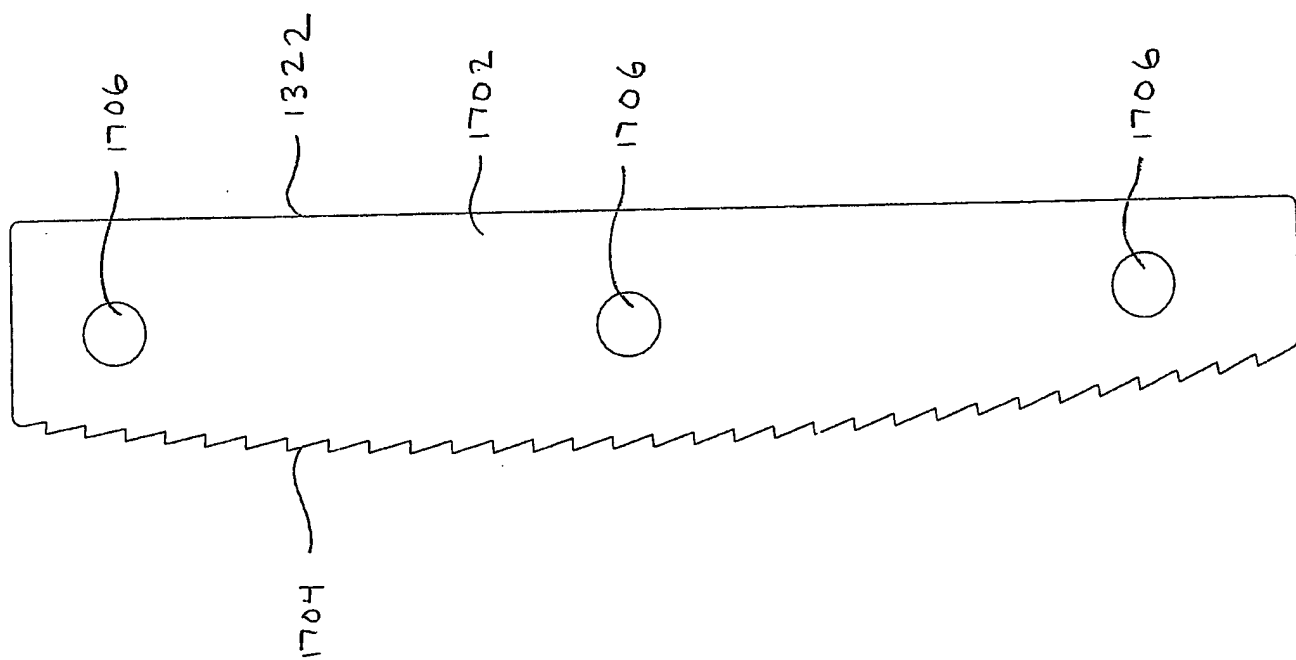


Fig. 17A

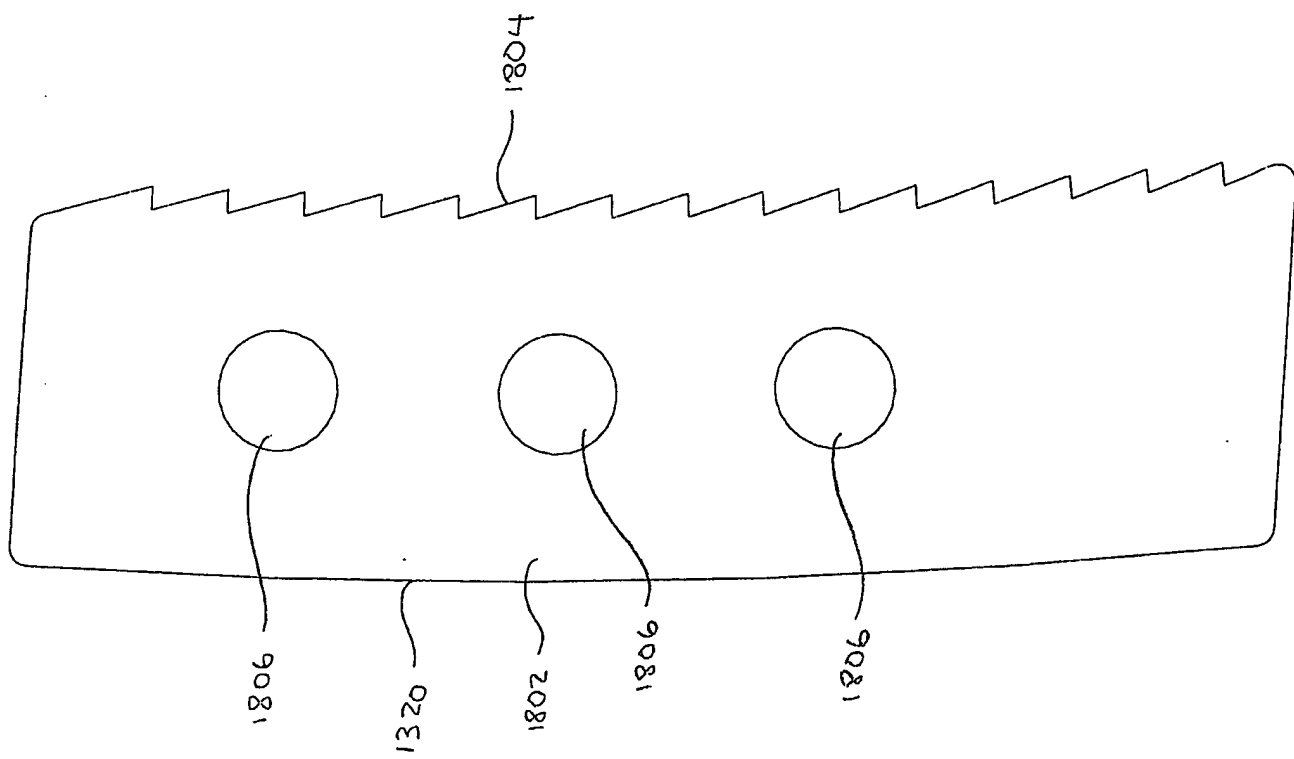


Fig. 18 A

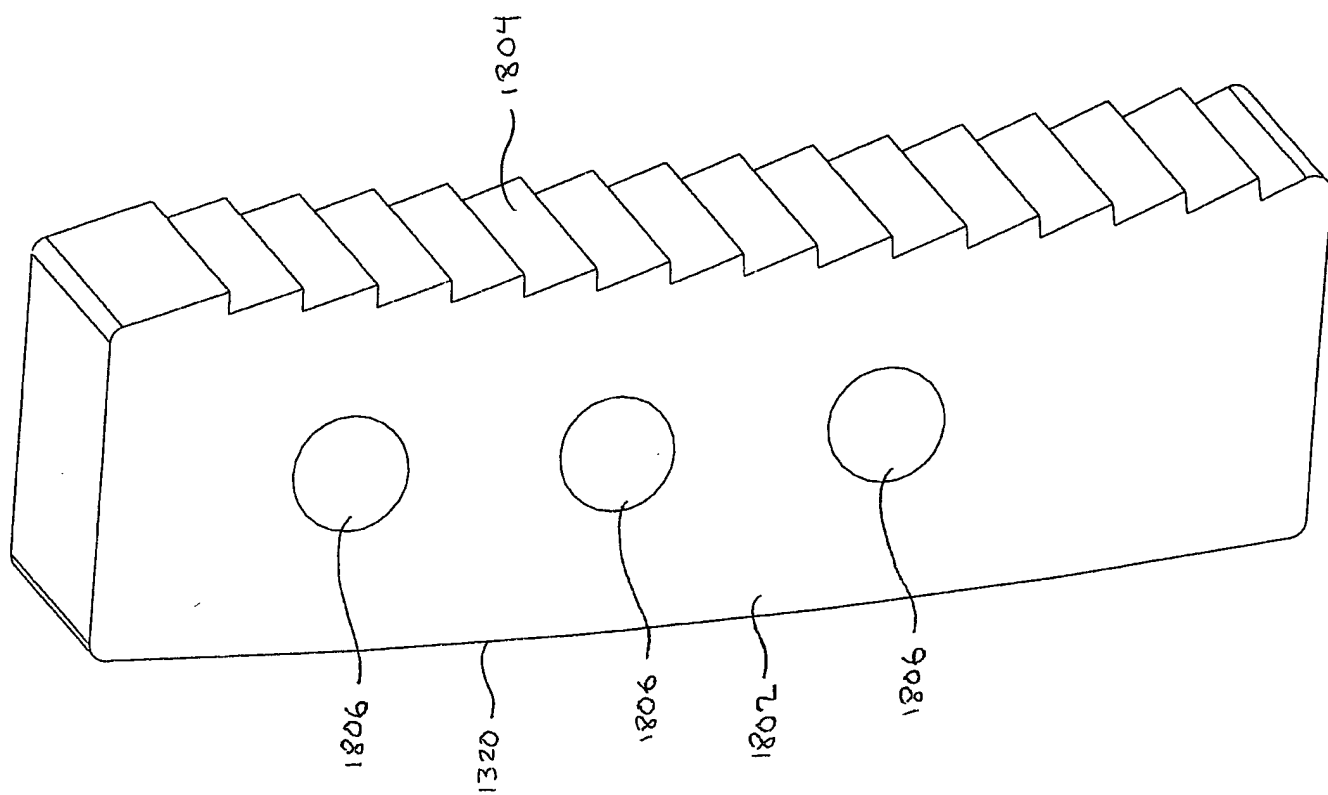


Fig. 18B